

СТАЦИОНАРНЫЙ И НЕСТАЦИОНАРНЫЙ ЧЕТИРИ-ЧАСТОТНЫЙ АНАЛИЗ ВЫНУЖДЕННЫХ КОЛЕБАНИЙ ТОНКОЙ УПРУГОЙ ОБОЛОЧКИ С НАЧАЛЬНЫМИ НЕПРАВИЛЬНОСТЯМИ

Хедрих К., Павлович Р., Козич П., Митич С.

(Поступило 7. 03. 1985.)

В статье (4) построены первые асимптотические приближения решений для четырех-частотных режимов вынужденных стационарных и нестационарных колебаний тонкой упругой оболочки с начальными неправильностями и функция напряжений и система дифференциальных уравнений первого приближения для амплитуд и фаз. Оболочка находится под воздействием четырех-частотного усилия с четырьмя медленно меняющимися или переменимыми частотами из резонансного охвата первой, второй третьей либо четвертой собственной частоте „невозмущенного” колебания. Оболочка свободно оперта по контуре. Контур прямоугольная, главные кривизны средней поверхности постоянны.

Пользуясь выведенными приближениями решений и дифференциальных уравнений первого приближения для амплитуд и фаз многочастотного режима колебаний, на основании численных результатов сделан анализ стационарных и нестационарных амплитудно-частотных характеристик и сделаны выводы о взаимном влиянии гармоников возмущенного нелинейного колебания.

1. Исследование стационарного вынужденного четырех-частотного режима колебаний

Для дальнейшего анализа необходимо построить систему уравнений для исследования стационарных амплитуд и фаз, четырех-частотного режима. Остановимся на случае когда $\bar{\xi}_{11}$, $\bar{\xi}_{12}$, $\bar{\xi}_{21}$ и $\bar{\xi}_{22}$ главные координаты (смотри (4)—(21) и (4)—(22)). Уравнения для исследования стационарных амплитуд и фаз строим, приравнявая правые части системы дифференциальных уравнений первого приближения (22) нулю:

$$\frac{dR_{11}^{(2)}}{dt} = -\frac{\varepsilon F_1}{\omega_{11} + \nu_1} \cos \varphi_{11} - \mu_{11} R_{11}^{(2)} (=) 0$$

$$\begin{aligned}
\frac{d\varphi_{11}}{dt} &= \bar{\omega}_{11} - \nu_1 + \frac{1}{8\bar{\omega}_{11}} \{3\bar{A}_{11} R_{11}^{(2)2} + 2[\bar{B}_{11} R_{12}^{(2)2} + \bar{C}_{11} R_{12}^{(2)2} + \bar{D}_{11} R_{22}^{(2)2}]\} + \\
&+ \frac{\varepsilon F_1}{R_{11}^{(2)} [\bar{\omega}_{11} + \nu_1]} \sin \varphi_{11} (=) 0 \\
\frac{dR_{12}^{(2)}}{dt} &= -\frac{\varepsilon F_2}{\bar{\omega}_{12} + \nu_2} \cos \varphi_{12} - \mu_{12} R_{12}^{(2)} (=) 0 \\
\frac{d\varphi_{12}}{dt} &= \bar{\omega}_{12} - \nu_2 + \frac{1}{8\bar{\omega}_{12}} \{3\bar{A}_{12} R_{12}^{(2)2} + 2[\bar{B}_{12} R_{11}^{(2)2} + \bar{C}_{12} R_{21}^{(2)2} + \bar{D}_{12} R_{22}^{(2)2}]\} + \\
&+ \frac{\varepsilon F_2}{R_{12}^{(2)} [\bar{\omega}_{12} + \nu_2]} \sin \varphi_{12} (=) 0 \\
\frac{dR_{21}^{(2)}}{dt} &= -\frac{\varepsilon F_3}{\bar{\omega}_{21} + \nu_3} \cos \varphi_{21} - \mu_{21} R_{21}^{(2)} (=) 0 \quad (1) \\
\frac{d\varphi_{21}}{dt} &= \bar{\omega}_{21} - \nu_3 + \frac{1}{8\bar{\omega}_{21}} \{3\bar{A}_{21} R_{21}^{(2)2} + 2[\bar{B}_{21} R_{11}^{(2)2} + \bar{C}_{21} R_{12}^{(2)2} + \bar{D}_{21} R_{22}^{(2)2}]\} + \\
&+ \frac{\varepsilon F_3}{R_{21}^{(2)} [\bar{\omega}_{21} + \nu_3]} \sin \varphi_{21} (=) 0 \\
\frac{dR_{22}^{(2)}}{dt} &= -\frac{\varepsilon F_4}{\bar{\omega}_{22} + \nu_4} \cos \varphi_{22} - \mu_{22} R_{22}^{(2)} (=) 0 \\
\frac{d\varphi_{22}}{dt} &= \bar{\omega}_{22} - \nu_4 + \frac{1}{8\bar{\omega}_{22}} \{3\bar{A}_{22} R_{22}^{(2)2} + 2[\bar{B}_{22} R_{11}^{(2)2} + \bar{C}_{22} R_{12}^{(2)2} + \bar{D}_{22} R_{21}^{(2)2}]\} + \\
&+ \frac{\varepsilon F_4}{R_{22}^{(2)} [\bar{\omega}_{22} + \nu_4]} \sin \varphi_{22} (=) 0
\end{aligned}$$

Исключая из этих уравнений фазы φ_{11} , φ_{12} , φ_{21} и φ_{22} с точностью до малых величин второго порядка малости зависимость между амплитудами и частотами внешней силы по неизвестным амплитудам $R_{11}^{(2)}$, $R_{12}^{(2)}$, $R_{21}^{(2)}$ и $R_{22}^{(2)}$ получаем в виде системы нелинейных уравнений:

$$\begin{aligned}
&[\bar{\omega}_{11} + \nu_1]^2 \mu_{11}^2 R_{11}^{(2)2} + R_{11}^{(2)2} \left\{ [\bar{\omega}_{11} - \nu_1]^2 + \frac{(\bar{\omega}_{11} + \nu_1)}{8\bar{\omega}_{11}} \left(3\bar{A}_{11} R_{11}^{(2)2} + \right. \right. \\
&\quad \left. \left. + 2[\bar{B}_{11} R_{12}^{(2)2} + \bar{C}_{11} R_{21}^{(2)2} + \bar{D}_{11} R_{22}^{(2)2}] \right) \right\}^2 - (\varepsilon F_1)^2 = 0 \\
&[\bar{\omega}_{12} + \nu_2]^2 \mu_{12}^2 R_{12}^{(2)2} + R_{12}^{(2)2} \left\{ [\bar{\omega}_{12} - \nu_2]^2 + \frac{(\bar{\omega}_{12} + \nu_2)}{8\bar{\omega}_{12}} \left(3\bar{A}_{12} R_{12}^{(2)2} + \right. \right. \\
&\quad \left. \left. + 2[\bar{B}_{12} R_{11}^{(2)2} + \bar{C}_{12} R_{21}^{(2)2} + \bar{D}_{12} R_{22}^{(2)2}] \right) \right\}^2 - (\varepsilon F_2)^2 = 0
\end{aligned}$$

$$\begin{aligned}
& [\bar{\omega}_{21} + \nu_3]^2 \mu_{21}^2 R_{21}^{(2)2} + R_{21}^{(2)2} \{[\bar{\omega}_{21}^2 - \nu_3^2] + \frac{(\bar{\omega}_{21} + \nu_3)}{8 \bar{\omega}_{21}} (3 \bar{A}_{21} R_{21}^{(2)2} + \\
& + 2 [\bar{B}_{21} R_{11}^{(2)2} + \bar{C}_{21} R_{12}^{(2)2} + D_{21} R_{22}^{(2)2}])\}^2 - (\varepsilon F_3)^2 = 0 \\
& [\bar{\omega}_{22} + \nu_4]^2 \mu_{22}^2 R_{22}^{(2)2} + R_{22}^{(2)2} \{[\bar{\omega}_{22}^2 - \nu_4^2] + \frac{(\bar{\omega}_{22} + \nu_4)}{8 \bar{\omega}_{22}} (3 \bar{A}_{22} R_{22}^{(2)2} + \\
& + 2 [\bar{B}_{22} R_{11}^{(2)2} + \bar{C}_{22} R_{12}^{(2)2} + D_{22} R_{21}^{(2)2}])\}^2 - (\varepsilon F_4)^2 = 0 \quad (2)
\end{aligned}$$

Последнюю систему нелинейных уравнений используем для расчета стационарных амплитуд четырехчастотного режима колебаний, зависящие от частот внешней силы. Это делаем вычислительным способом с помощью числового метода Ньютона-Канторовича на вычислительной машине Honeywell 6.

Для числового примера примем следующие числовые данные для оболочки и начальных неупругостей:

$$a = 1 [m], \quad b = 2 [m], \quad h = 0,01 [m], \quad k_x = 0,12, \quad k_y = 0,06, \quad k_x^* = 12,$$

$$k_y^* = 24, \quad k^* = 36; \quad E = 2 \cdot 10^{11} [N/m^2], \quad \rho = 7,8 \cdot 10^3 [kg/m^3], \quad \bar{\mu} = \frac{1}{3};$$

$$\mu_{ij} = 6; \quad \mu = 468 \left[\frac{Ns}{m^3} \right]; \quad \varepsilon \bar{F}_1 = 6153,8; \quad \varepsilon \bar{F}_2 = 10256,4; \quad \varepsilon F_3 = 4871,79;$$

$$\varepsilon F_4 = 7692,3; \quad \bar{f}_{011} = 0,5; \quad \bar{f}_{012} = \bar{f}_{021} = \bar{f}_{022} = 0; \quad \nu_1 \in (340,440 [s^{-1}]);$$

$$\nu_2 \in (400, 560 [s^{-1}]); \quad \nu_3 \in (600, 800 [s^{-1}]); \quad \nu_4 \in (800, 900 [s^{-1}]);$$

Собственные частоты оболочки соответствующей „невозмущенной” системы (без начальных неупругостей):

$$\omega_{11} = 411,714 [s^{-1}]; \quad \omega_{12} = 548,955 [s^{-1}];$$

$$\omega_{21} = 725,548 [s^{-1}]; \quad \omega_{22} = 847,524 [s^{-1}].$$

Собственные частоты оболочки соответствующие „невозмущенной” базисной системы (с начальными неупругостями):

$$\bar{\omega}_{11} = 367,467 [s^{-1}]; \quad \bar{\omega}_{12} = 459,828 [s^{-1}];$$

$$\bar{\omega}_{21} = 707,259 [s^{-1}]; \quad \bar{\omega}_{22} = 829,729 [s^{-1}].$$

Видно что для выбранного вычислительного примера амплитуды вынужденной силы в форме фундаментальных функций $W_{ij}(x, y)$ гармоник „невозмущенного” режима колебаний соответствующих резонансным частотам.

Мгновенные частоты ν_1, ν_2, ν_3 и ν_4 вынужденной силы выбираем через частотные резонансные интервалы

$$\bar{\omega}_{11} \rightarrow \nu_1 \in (340, 440)$$

$$\bar{\omega}_{12} \rightarrow \nu_2 \in (400, 560)$$

$$\bar{\omega}_{21} \rightarrow \nu_3 \in (600, 800)$$

$$\bar{\omega}_{22} \rightarrow \nu_4 \in (800, 900)$$

$$W_{ij}(x, y) = \sin \frac{i \pi}{a} x \sin \frac{j \pi}{b} y \quad i, j = 1, 2.$$

Пользуясь вычислительными результатами можно построить амплитудно-частотные и фазно-частотные кривые стационарных амплитуд и фаз резонансного четырех-частотного режима колебаний.

Возможно очень большое число вычислительных результатов зависит от выбора частот $\nu_1, \nu_2, \nu_3, \nu_4$. Поэтому мы сделали выбор семейства амплитудно-частотных кривых характеризующие зависимость стационарных амплитуд первой, второй, третьей и четвертой гармоники соответствующего установившемуся режиму колебаний оболочки с начальными неправильностями в форме первой фундаментальной функции „невозмущенного” движения, для непрерывного изменения дискретных числовых значений частот ν_1 и ν_2 и дискретно выбранных числовых значений частот $\nu_3 = 670 \text{ (s}^{-1}\text{)}$, $\nu_4 = 780 \text{ [s}^{-1}\text{]}$, которые выбраны непосредственно близко третьей и четвертой собственным базным частотам „невозмущенной”, системы.

На следующих рисунках № 1. а, б, в и г приведены семейства амплитудно-частотных кривых первой, второй, третьей и четвертой гармоники для непрерывного изменения дискретных частот $\nu_1 \in (340, 400)$ и на рис. № 1. е, ф, г и д для непрерывного изменения дискретных частот $\nu_2 \in (400, 560 \text{ s}^{-1}\text{)}$.

Для отличия от линейных в нелинейных систем являются части амплитудно-частотных кривых с неустойчивыми амплитудами и фазами. Для одночастотных режимов является по одному резонансный скачок при дискретном увеличению или уменьшению частот, а для многочастотных режимов бывает их большое число. Как последствие взаимного влияния гармоник и начальных неправильностей для двухчастотного режима могут явиться по два резонансных скачка в случае увеличения и уменьшения значений частот внешней силы. Для четырех-частотного режима колебаний форма амплитудно-частотных кривых зависит от конкретного выбора частот.

На всех рисунках № 1. показаны скачки и неустойчивые амплитуды которые можно обнаружить между ними.

II. Исследование нестационарного вынужденного четырех-частотного режима колебаний оболочки

Для анализа нестационарного вынужденного четырех-частотного режима колебаний оболочки пользуемся системы дифференциальных уравнений первого приближения (1). Эти уравнения интегрируем методом Runge-Kutte на вычислительной машине Honeywell 6. Предполагается линейное медленно изменение частот внешних сил, как в направлении увеличения $\nu_1 = 350 + \beta t$, также и в направлении уменьшения $\nu_1 = 420 - \beta t$ частот.

На следующих рисунках № 2. а и б нарисовано семейство амплитудно-частотных кривых нестационарных амплитуд для увеличения и уменьшения,

① $\nu_2 = 450 \text{ s}^{-1}$; ② $\nu_2 = 470 \text{ s}^{-1}$; ③ $\nu_2 = 485 \text{ s}^{-1}$; ④ $\nu_2 = 490 \text{ s}^{-1}$; ⑤ $\nu_2 = 500 \text{ s}^{-1}$

$\nu_3 = 670 \text{ s}^{-1}$; $\nu_4 = 780 \text{ s}^{-1}$; $\bar{\omega}_{12} = 459,828 \text{ s}^{-1}$

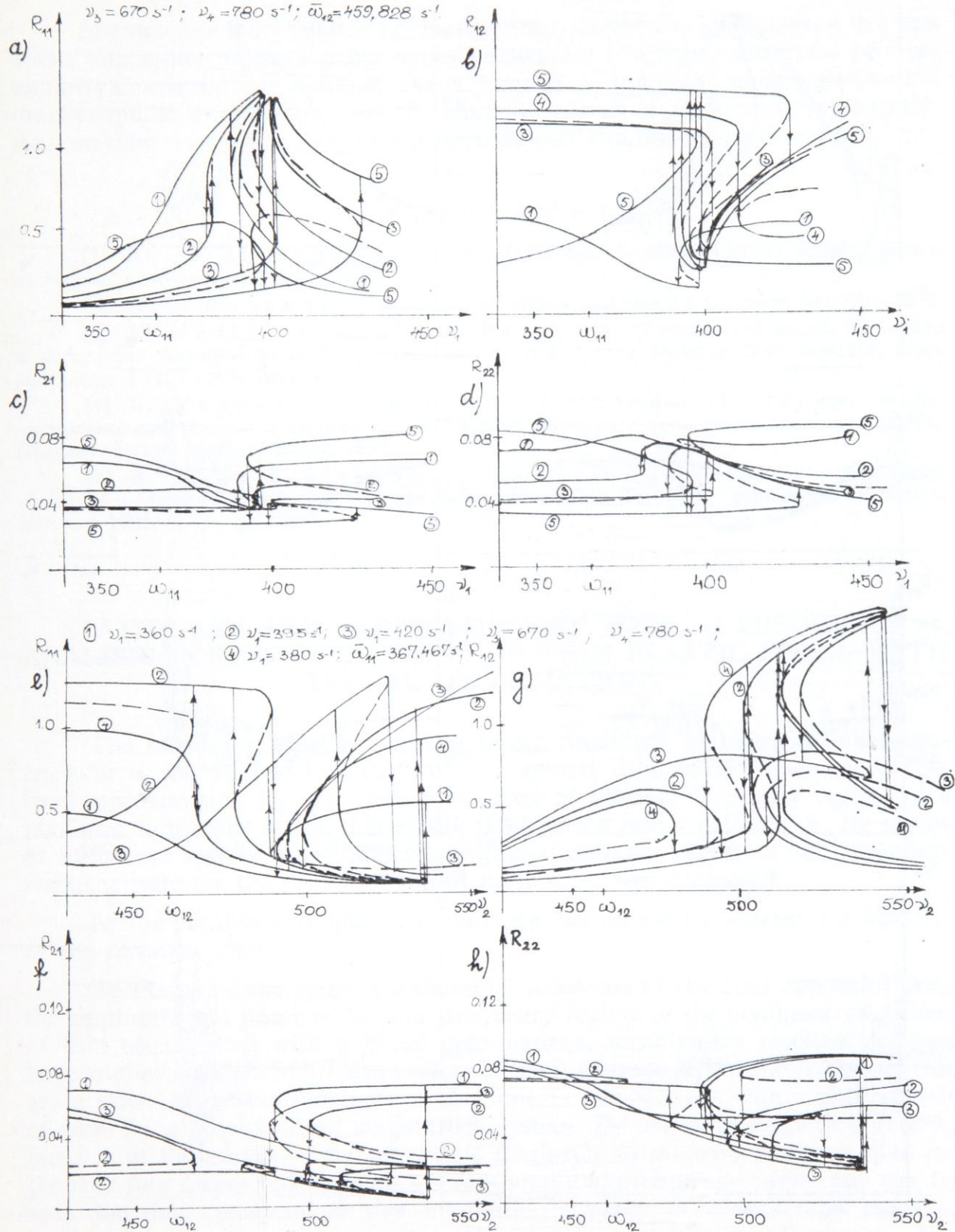


Рис. 1

а) $v_1 = 350 + \beta t$; $v_2 = 450 \text{ s}^{-1}$; $v_3 = 670 \text{ s}^{-1}$; $v_4 = 780 \text{ s}^{-1}$ б) $v_1 = 420 - \beta t$; $v_2 = 450 \text{ s}^{-1}$; $v_3 = 670 \text{ s}^{-1}$; $v_4 = 780 \text{ s}^{-1}$

----- $\beta = 16 \text{ s}^{-2}$; - - - - - $\beta = 32 \text{ s}^{-2}$; $\beta = 64 \text{ s}^{-2}$

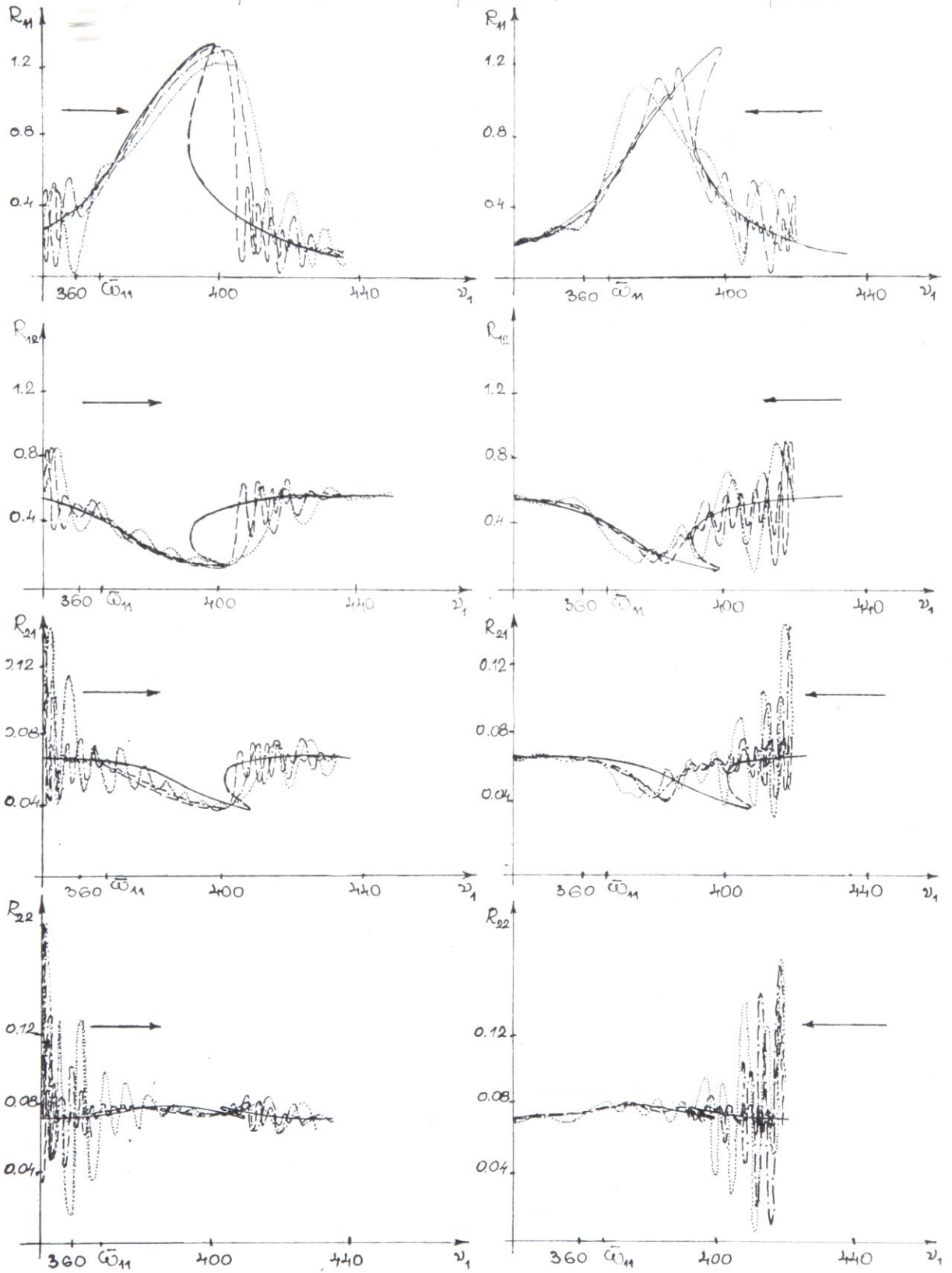


Рис. 2

а и б, частот внешней силы различными скоростями. Также на каждом рисунке приведена соответствующая амплитудно-частотная кривая стационарных амплитуд, что бы было видно для малых скоростях прохождения системы через резонанс нестационарные амплитуды близки стационарным.

Анализируя полученные кривые амплитуда-частота убеждаемся что при очень медленном прохождении через резонанс и в четырех-частотном режиме амплитудно-частотные кривые очень близки к кривым характеризующим стационарные амплитуды первой, второй, третьей и четвертой гармоники. Амплитудно-частотные кривые нестационарных амплитуд следят скачки.

ЛИТЕРАТУРА

- [1] Ю. А. Митропольский, *Проблемы асимптотической теории нестационарных колебаний*, Москва 1964
- [2] А. С. Вольмир, *Нелинейная динамика пластинок и оболочек*, Москва, 1972.
- [3] К. Hedrih, P. Kozic, R. Pavlovic, *O uzajamnom uticaju harmonika u nelinearnim sistemima sa malim parametrom*, Zbornik radova Matematičkog instituta, Nova serija knj. 4 (12) 1983, Beograd.
- [4] К. Хедрих, С. Митич, Р. Павлович, П. Козич, *Многочастотные вынужденные колебания тонкой упругой оболочки с начальными неправильностями* (Аналитический анализ) Варна 1984.
- [5] К. Hedrih-Stevanovic, *Multifrequency forced vibrations of thin elastic shells with a positive Gausse's curvature and finite deformations*, Teorijska i primenjena Mehanika, Beograd 1985.

STATIONARY AND NONSTATIONARY FOUR — FREQUENCY ANALYSIS FORCED VIBRATIONS OF THIN ELASTIC SHELL WITH INITIAL DEFORMATIONS

The stationary resonant regimes under conditions of effect a four-frequency force, was studied by means of the system differential equations of the first approximation for amplitude and phase of the four-frequency regime of a nonlinear vibrations of the thin elastic shell with a initial deformities. By means of numerical results, the families amplitude-frequency curves of the stationary resonant state for the first four forced harmonics, was composed.

At the amplitude-frequency curves one can be see the existence a number of the resonant jumps.

By means of the systems differential equations of the first approximations for amplitude and phase of the four-frequency regime of the nonlinear vibrations of thin elastic shell with a initial deformations, unstationary resonant regimes have studied, under conditions of effect of the four-frequent forced vibrations that are a slow changeable functions of the time in comparisons with a natural unit of time for a coresponding undisturbed system. By means of numerical results, families of the curves of the amplitude frequency ustacionary resonant state for the first four incentived harmonics. From amplitude-frequency curves one can be seen that they corespond to the amplitude-frequency of a stationary resonant state and they are move near each another for a more litle speeds change of a frequencies of a forced powers.

STACIONARNA I NESTACIONARNA ČETVORO-FREKVENTNA ANALIZA PRINUDNIH OSCILACIJA TANKE ELASTIČNE LJUSKE SA POČETNIM NEPRAVILNOSTIMA

Pomoću sistema diferencijalnih jednačina prve aproksimacije za amplitude i faze četvorofrekventnog režima nelinearnih oscilacija tanke elastične ljuske sa početnim nepravilnostima proučavani su stacionarni i nestacionarni rezonantni režimi u uslovima dejstva četvorofrekventne prinude frekvencija, koje su sporopromenljive funkcije vremena u poređenju sa prirodnom jedinicom vremena odgovarajućeg „neporemećenog” sistema. Pomoću numeričkih rezultata sastavljene su familije amplitudno-frekventnih krivih stacionarnog i nestacionarnog rezonantnog stanja za prva četiri pobuđena harmonika. Sa amplitudno-frekventnih krivih stacionarnog rezonantnog stanja se vidi postojanje više rezonantnih skokova. Amplitudno-frekventne krive nestacionarnog rezonantnog stanja prate odgovarajuće krive stacionarnog rezonantnog stanja, a bliže su im za manje brzine promene frekvencija prinudne sile.

Mašinski fakultet
18000 Niš
Jugoslavija